

E Représentation géométrique en termes de spin fictif .

- 1 - Introduction (T-1)
- 2 - Correspondance entre un atome à 2 niveaux et un spin fictif $1/2$ (T-2 \rightarrow 3)
- 3 - Interprétation géométrique de l'hamiltonien d'interaction (T-4 \rightarrow 5)
- 4 - Passage dans le référentiel tournant
Précession de Rabi (T-6 \rightarrow 7)
- 5 - Interprétation du 2^{ème} changement de variables du § D
Equations de Bloch optiques (T-8 \rightarrow 10)
- 6 - Champ effectif (T-11)
- 7 - Lien entre forces radiatives et effet Stern et Gerlach (T-12 \rightarrow 14)

F- Forces radiatives stationnaires pour ^{un} atome à 2 niveaux initialement immobile dans une onde monochromatique

- 1 - Introduction (T-15 \rightarrow 16)
- 2 - Interprétation de la 3^{ème} équation de Bloch (T-17)
- 3 - Solution stationnaire des équations de Bloch (T-18)
- 4 - Calcul et interprétation de \vec{F}_1 (T-19 \rightarrow 23)
Comparaison avec le résultat obtenu pour l'électron libre
Ordres de grandeur
- 5 - Calcul et interprétation de \vec{F}_2 (T-24 \rightarrow 26)
- 6 - Variation de vitesse de l'atome pendant la durée de vie radiative (T-27)
- 7 - Récapitulation (T-28)

Buts du § E

- Montrer que les équations d'évolution de la matrice densité interne sont équivalentes aux équations du mouvement d'un spin 1/2 dans un champ magnétique
- Donner une interprétation géométrique simple de divers paramètres introduits en D
 - Phase ϕ de l'onde
 - Fréquence de Rabi ω_1
 - Désaccord δ
 - Composantes en phase et en quadrature du dipole u et v
- Etablir un lien entre le problème des forces radiatives et l'effet Stern et Gerlach

(1) Correspondance atome à 2 niveaux → spin "fictif" 1/2 \vec{S}

- Aux 2 états $|e\rangle$ et $|f\rangle$ sont associés les 2 états $|+\rangle$ et $|-\rangle$ de S_z
 - $|e\rangle \rightarrow |+\rangle$ $|f\rangle \rightarrow |-\rangle$
- Matrices de spin S_x, S_y, S_z

$$S_x = \frac{1}{2} \begin{pmatrix} 0 & 1 \\ 1 & 0 \end{pmatrix} \quad S_y = \frac{1}{2} \begin{pmatrix} 0 & -i \\ i & 0 \end{pmatrix} \quad S_z = \frac{1}{2} \begin{pmatrix} 1 & 0 \\ 0 & -1 \end{pmatrix}$$
- Toute matrice atomique 2×2 dans la base $\{|e\rangle, |f\rangle\}$ peut être développée sur $S_x, S_y, S_z, \mathbb{1}$

$$h_A = \frac{\hbar\omega_0}{2} \begin{pmatrix} 1 & 0 \\ 0 & -1 \end{pmatrix} \rightarrow \hbar\omega_0 S_z$$

$$D = d \begin{pmatrix} 0 & 1 \\ 1 & 0 \end{pmatrix} \rightarrow 2d S_x$$

$$D_+ = d |e\rangle\langle f| = d \begin{pmatrix} 0 & 1 \\ 0 & 0 \end{pmatrix} \rightarrow d S_+$$

$$D_- = d |f\rangle\langle e| = d \begin{pmatrix} 0 & 0 \\ 1 & 0 \end{pmatrix} \rightarrow d S_-$$

$$S_{\pm} = S_x \pm i S_y$$

Interprétation des éléments de la matrice densité interne σ

- $\sigma_{ef} = \text{Tr} \{ \sigma D_- / d \} \rightarrow \langle S_- \rangle$
- $\sigma_{fe} = \text{Tr} \{ \sigma D_+ / d \} \rightarrow \langle S_+ \rangle$
- $(\sigma_{ee} - \sigma_{ff}) / 2 = \text{Tr} \{ \sigma h_A / \hbar\omega_0 \} \rightarrow \langle S_z \rangle$
- Posons $\vec{P} = \langle \vec{S} \rangle$
 - $\sigma_{ef} \rightarrow P_x - iP_y$ $\sigma_{fe} \rightarrow P_x + iP_y$
 - $(\sigma_{ee} - \sigma_{ff}) / 2 \rightarrow P_z$
- Les éléments de matrice de σ sont reliés aux composantes de $\vec{P} = \langle \vec{S} \rangle$
- Remarque : Ne pas confondre l'espace réel et l'espace du spin fictif. $\langle D \rangle$ est toujours parallèle à l'axe Oz de l'espace réel. \vec{P} a des composantes sur les 3 axes de l'espace du spin fictif.

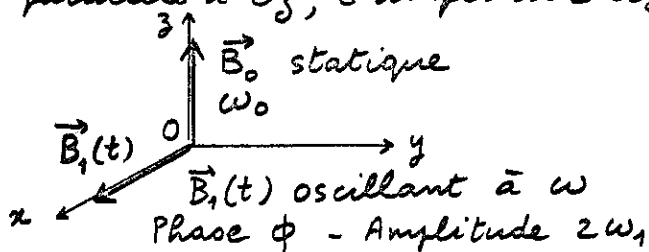
Interprétation géométrique de l'hamiltonien d'interaction

- $V(t) = -D \vec{E}(\vec{r}, t)$ (pour $\vec{r} = \vec{r}_e(t)$)
- $\vec{E}(\vec{r}, t) = \vec{E}_0(\vec{r}, t) \cos(\omega t + \phi(\vec{r}, t))$
- $\vec{E}_0(\vec{r}, t)$ et $\phi(\vec{r}, t)$: amplitude et phase lentement variables. On a posé au § D
 - $\omega_1(\vec{r}, t) = -d \vec{E}_0(\vec{r}, t) / \hbar$
- Comme $D \rightarrow 2d S_x$

$$V(t) \rightarrow 2 \hbar \omega_1(\vec{r}, t) \cos(\omega t + \phi(\vec{r}, t)) S_x$$
- Même forme que l'interaction du spin avec un champ $\vec{B}_1(t)$
 - Parallèle à Ox
 - De fréquence (moyenne) ω
 - De phase ϕ
 - D'amplitude $2\omega_1$ (en unités de pulsation de Larmor)

Champs magnétiques équivalents à l'hamiltonien total - (5)

$H = h_A + V(t)$ $h_A \rightarrow \hbar \omega_0 S_z$
 h_A équivalent à un champ statique \vec{B}_0 parallèle à Oz , d'amplitude ω_0



$\vec{B}_1(t)$ peut être décomposé en 2 composantes tournant en sens inverse dans xOy . Quand ω est proche de ω_0 , seule la composante tournant dans le "bon" sens autour de \vec{B}_0 a un effet important.

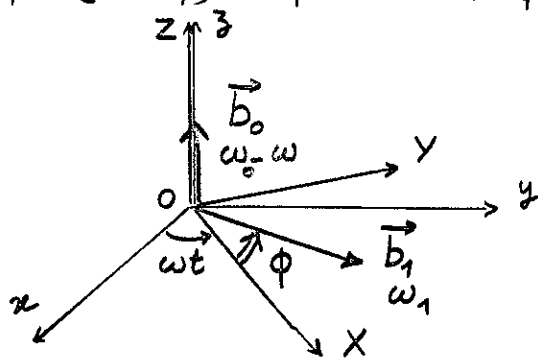
On néglige l'autre (approximation du champ tournant)

Référentiel $OXYZ$ tournant (6) (à la fréquence ω autour de Oz)

- Dans ce référentiel, l'amplitude du champ statique parallèle à Oz , \vec{b}_0 , est changée de ω_0 à $\omega_0 - \omega = -\delta$ (Théorème de Larmor)

- La "bonne" composante de $\vec{B}_1(t)$, $\vec{b}_1(t)$, devient quasi-statique, d'amplitude $\omega_1(t)$, et fait un angle $\phi(t)$ avec Ox car

$$2\omega_1 \cos(\omega t + \phi) = \omega_1 e^{i(\omega t + \phi)} + \omega_1 e^{-i(\omega t + \phi)}$$



$\omega_1(t), \phi(t)$: lentement variables

Interprétation du 1^{er} changement (7) de variables du § D

La transformation $\sigma \rightarrow \tilde{\sigma}$ correspond précisément au passage dans le référentiel tournant.

\tilde{H} correspond à l'interaction du spin avec $\vec{b}_0 + \vec{b}_1$ (voir III-21)

$$\tilde{\sigma}_{ef} \rightarrow \mathcal{I}_x - i\mathcal{I}_y \quad \sigma_{fe} \rightarrow \mathcal{I}_x + i\mathcal{I}_y \quad (\sigma_{ee} - \sigma_{ff})/2 \rightarrow \mathcal{I}_z$$

Interprétation de ω_1

A résonance ($\omega_0 = \omega$), \vec{b}_0 s'annule et le spin précesse autour de \vec{b}_1 à la fréquence ω_1 .

Précession de Rabi à résonance du spin entre les 2 états $|+\rangle$ et $|-\rangle$

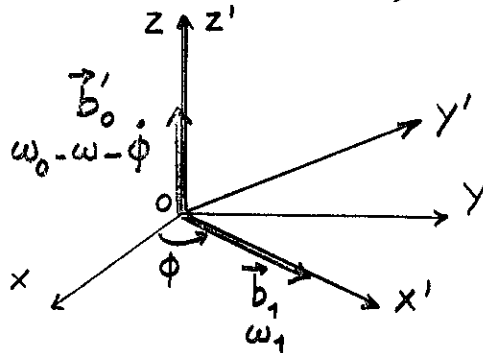
Interprétation de ϕ

Angle entre \vec{b}_1 et \vec{Ox} dans le plan xOy

Interprétation du 2^{ème} changement (8) de variables du § D

La transformation $\tilde{\sigma} \rightarrow \hat{\sigma}$ du § D correspond à une rotation d'un angle ϕ autour de Oz . Dans le nouveau trièdre $Ox'y'z'$, \vec{b}_1 est aligné suivant \vec{Ox}'

Si ϕ dépend de t , la rotation précédente introduit un champ supplémentaire $-\dot{\phi}$ le long de Oz' (Théorème de Larmor)



\hat{H} correspond à l'interaction du spin avec $\vec{b}'_0 + \vec{b}'_1$ (voir III-23)

Interprétation de u, v, w (9)

$$\hat{\sigma}_{ef} \rightarrow \mathcal{P}_{x'} - i \mathcal{P}_{y'} \quad \hat{\sigma}_{fe} \rightarrow \mathcal{P}_{x'} + i \mathcal{P}_{y'}$$

$$u(t) = \frac{1}{2} [\hat{\sigma}_{fe}(t) + \hat{\sigma}_{ef}(t)] \rightarrow \mathcal{P}_{x'}(t)$$

$$v(t) = \frac{1}{2i} [\hat{\sigma}_{fe}(t) - \hat{\sigma}_{ef}(t)] \rightarrow \mathcal{P}_{y'}(t)$$

Les composantes du dipôle en phase et en quadrature avec le champ, $u(t)$ et $v(t)$, correspondent donc aux composantes $\mathcal{P}_{x'}(t)$ et $\mathcal{P}_{y'}(t)$ du spin moyen sur la direction OX' du champ \vec{b}_1 et sur la direction perpendiculaire OY'

$$w(t) = \frac{1}{2} [\hat{\sigma}_{ee}(t) - \hat{\sigma}_{ff}(t)] \rightarrow \mathcal{P}_{z'}(t)$$

u, v, w sont les 3 composantes de \vec{S} dans $OX'Y'Z'$ ("Vecteur de Bloch")

Expression de la force moyenne

$$\vec{F} = -\hbar \mathcal{P}_{x'} \vec{\nabla} \omega_1 - \hbar \mathcal{P}_{y'} \omega_1 \vec{\nabla} \phi$$

Interprétation des équations de Bloch optiques (voir III-25) (10)

Ces équations apparaissent comme décrivant l'évolution du spin moyen \vec{S} dans le référentiel $OX'Y'Z'$ sous l'effet de

- la précession autour de $\vec{b}'_0 + \vec{b}_1$,
- la "relaxation radiative"

Interprétation des termes de relaxation

$$\frac{d}{dt} \mathcal{P}_{z'} = -\Gamma (\mathcal{P}_{z'} + \frac{1}{2})$$

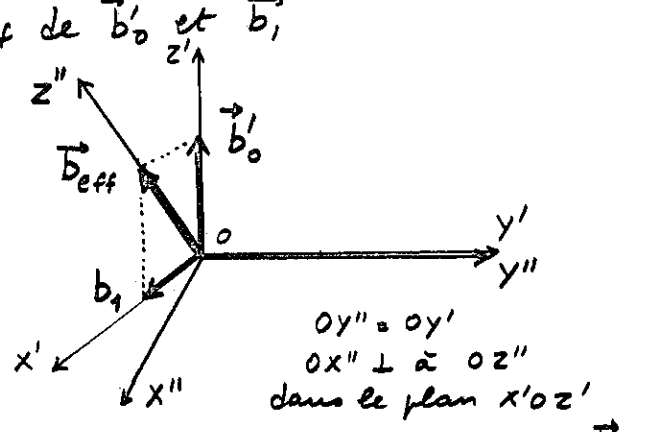
$\mathcal{P}_{z'}$ tend vers sa valeur d'équilibre $-\frac{1}{2}$ (spin dans l'état $|1-\rangle$) avec un temps de relaxation $T_1 = 1/\Gamma$

$$\frac{d}{dt} \mathcal{P}_{x'} = -\frac{\Gamma}{2} \mathcal{P}_{x'} \quad \frac{d}{dt} \mathcal{P}_{y'} = -\frac{\Gamma}{2} \mathcal{P}_{y'}$$

Les composantes transversales $\mathcal{P}_{x'}$ et $\mathcal{P}_{y'}$ sont amorties avec un temps de relaxation $T_2 = 2/\Gamma$

Champ effectif (11)

3^{ème} changement de référentiel : Rotation autour de OY' amenant OZ' en OZ'' le long de la résultante \vec{b}_{eff} de \vec{b}'_0 et \vec{b}_1



Fréquence de Larmor autour de \vec{b}_{eff}

$$\Omega = \sqrt{\omega_1^2 + (\omega_0 - \omega - \dot{\phi})^2}$$

Intérêt de cette transformation

Si $\Omega \gg \Gamma$ (et si ω_1 et ϕ varient très lentement), le spin moyen précesse très vite autour de \vec{b}_{eff} et est donc aligné suivant OZ''

Liens entre forces radiatives et effet Stern et Gerlach (12)

On suppose ici l'onde incidente monochromatique ω_1 et ϕ dépendent de \vec{r} , mais non de t : $\omega_1(\vec{r}), \phi(\vec{r})$

Expression de la force moyenne

$$\vec{F} = -\hbar \langle \vec{S} \cdot \vec{e}_{x'} \rangle \vec{\nabla} \omega_1 + \langle \vec{S} \cdot \vec{e}_{y'} \rangle \omega_1 \vec{\nabla} \phi$$

$\langle \rangle$: Valeur moyenne prise sur l'état interne

$\vec{e}_{x'}, \vec{e}_{y'}$: Vecteurs unitaires le long de OX' et OY'

Toutes les grandeurs de champ sont évaluées en $\vec{r} = \vec{R}(t)$

Nous allons montrer que \vec{F} peut encore s'écrire

$$\vec{F} = -\hbar \langle \vec{\nabla} [\omega_1 (\vec{S} \cdot \vec{e}_{x'})] \rangle$$

Expression équivalente de \vec{F} (13)

- Comme $\vec{e}_{x'}$ est unitaire, on a (voir Fig de IV-8)

$$d\vec{e}_{x'} = \vec{e}_{y'} d\phi$$
- Comme l'opérateur \vec{S} ne dépend pas de \vec{r} , il vient alors

$$\vec{\nabla}(\vec{S} \cdot \vec{e}_{x'}) = (\vec{S} \cdot \vec{e}_{y'}) \vec{\nabla} \phi$$
 et par suite

$$\vec{\nabla}[\omega_1(\vec{S} \cdot \vec{e}_{x'})] = (\vec{\nabla} \omega_1)(\vec{S} \cdot \vec{e}_{x'}) + \omega_1(\vec{\nabla} \phi)(\vec{S} \cdot \vec{e}_{y'})$$
- Si l'on prend la moyenne sur l'état interne, on retrouve bien que

$$\vec{F} = -\hbar \langle \vec{\nabla} [\omega_1(\vec{S} \cdot \vec{e}_{x'})] \rangle$$
- Enfin, comme $\omega_0 - \omega$ et $\vec{e}_{z'}$ ne dépendent pas de \vec{r} , on peut rajouter à l'expression précédente

$$-\hbar \langle \vec{\nabla} [(\omega_0 - \omega)(\vec{S} \cdot \vec{e}_{z'})] \rangle$$
 qui est nul.

Buts du § F (15)

- Résoudre les équations de Bloch optiques et calculer \vec{F}_1 et \vec{F}_2 dans le cas le plus simple possible
- Onde monochromatique
 - Atome initialement immobile (et le restant pendant la durée de l'interaction)
 - Régime stationnaire.

Simplifications

L'amplitude E_0 et la phase ϕ ne dépendent pas de t

$$\begin{cases} \omega_1 = -\frac{dE_0}{\hbar} & \text{indépendant de } t \\ \dot{\phi} = 0 \end{cases}$$

Les équations de Bloch optiques forment alors un système différentiel linéaire à coefficients constants.

Interprétation du résultat final (14)

$$\vec{F} = -\langle \vec{\nabla} \tilde{\mathcal{H}} \rangle$$

$$\tilde{\mathcal{H}} = [\hbar(\omega_0 - \omega)\vec{e}_{z'} + \hbar\omega_1\vec{e}_{x'}] \cdot \vec{S}$$

$\tilde{\mathcal{H}}$ est l'hamiltonien d'interaction du spin fictif \vec{S} avec un champ dont la composante verticale est homogène mais dont la composante horizontale a une direction ($\vec{e}_{x'}$) et une amplitude (ω_1) qui varient d'un point à l'autre

Champ magnétique inhomogène spatialement.

Situation analogue à celle de l'effet Stern et Gerlach Problème qui sera repris plus en détail dans la 2^{ème} partie

Rappel des équations importantes (16)Equations de Bloch

$$\begin{cases} \dot{u} = \delta v - \Gamma u / 2 \\ \dot{v} = -\delta u - \omega_1 w - \Gamma v / 2 \\ \dot{w} = \omega_1 v - \Gamma (\frac{1}{2} + w) \end{cases}$$

Expression de la force moyenne

$$\vec{F} = \underbrace{d v E_0 \vec{\nabla} \phi}_{\vec{F}_1} + \underbrace{d u \vec{\nabla} E_0}_{\vec{F}_2}$$

$$D_{\text{quadr}} = d v \quad D_{\text{phase}} = d u$$

Energie absorbée par l'atome / unité de temps

$$\frac{dW}{dt} = -\omega E_0 D_{\text{quadr}} \quad (\text{voir II-3})$$

$$= -\omega \underbrace{d E_0}_{-\hbar \omega_1} v = \hbar \omega \omega_1 v$$

Nombre de photons absorbés / unité de temps

$$\frac{dN}{dt} = \frac{1}{\hbar \omega} \frac{dW}{dt} = \omega_1 v$$

Interprétation 3^{ème} Équation de Bloch (17)

$$W = (\sigma_{ee} - \sigma_{ff})/2 = \sigma_{ee} - \frac{1}{2} \quad (\sigma_{ee} + \sigma_{ff} = 1)$$

$$\dot{\sigma}_{ee} = \omega_1 v - \Gamma \sigma_{ee}$$

$\dot{\sigma}_{ee}$: Nombre d'atomes arrivant dans l'état excité / unité de temps

$\omega_1 v$: Nombre de photons absorbés par l'atome / unité de temps

$\Gamma \sigma_{ee}$: Nombre de photons émis spontanément / unité de temps

↳ Augmentation du nombre d'atomes excités = Nombre de photons absorbés

- Nombre de photons émis spontanément

Résultat simple (et valable pour des situations plus générales que celles du § F)

En régime stationnaire ($\dot{\sigma}_{ee} = 0$)

Nombre de photons absorbés = Nombre de photons émis spontanément

Solution stationnaire des Équations de Bloch optiques (18)

$$u = \frac{\omega_1}{2} \frac{\omega - \omega_0}{(\omega - \omega_0)^2 + \frac{\Gamma^2}{4} + \frac{\omega_1^2}{2}}$$

$$v = \frac{\omega_1}{2} \frac{\frac{\Gamma}{2}}{(\omega - \omega_0)^2 + \frac{\Gamma^2}{4} + \frac{\omega_1^2}{2}}$$

$$W + \frac{1}{2} = \sigma_{ee} = \frac{\omega_1^2}{4} \frac{1}{(\omega - \omega_0)^2 + \frac{\Gamma^2}{4} + \frac{\omega_1^2}{2}}$$

Courbes d'absorption (pour v et σ_{ee}) ou de dispersion (pour u), centrées en ω_0 , de largeur $(\Gamma^2 + 2\omega_1^2)^{1/2}$

Il peut être commode d'introduire

$$s = \frac{\frac{\omega_1^2}{2}}{(\omega - \omega_0)^2 + \frac{\Gamma^2}{4}} \quad s : \text{Paramètre de saturation}$$

$$u = \frac{\delta}{\omega_1} \frac{s}{1+s} \quad v = \frac{\Gamma}{2\omega_1} \frac{s}{1+s}$$

$$\sigma_{ee} = \frac{1}{2} \frac{s}{1+s}$$

Expression de $\vec{F}_1 = \mathcal{D}_{quadr} \vec{E}_0 \vec{\nabla} \phi$ (19)

$$\mathcal{D}_{quadr} = d v \quad d \vec{E}_0 = -\hbar \omega_1$$

$$\vec{F}_1 = \underbrace{-\hbar(\vec{\nabla} \phi)}_{= \hbar \vec{k} \text{ pour onde plane}} \frac{\Gamma}{2} \frac{\frac{\omega_1^2}{2}}{\delta^2 + \frac{\Gamma^2}{4} + \frac{\omega_1^2}{2}} = -\hbar(\vec{\nabla} \phi) \frac{\Gamma}{2} \frac{s}{1+s}$$

- Force maximale pour $\delta = 0$ (Forme d'absorption en $\omega - \omega_0$)

- A faible intensité, c.à.d pour $s \ll 1$ (ou encore $\omega_1^2/2 \ll (\Gamma/2)^2 + \delta^2$)

$$\vec{F}_1 = -\hbar(\vec{\nabla} \phi) \frac{\omega_1^2}{2} \frac{\Gamma}{(\omega - \omega_0)^2 + (\frac{\Gamma}{2})^2}$$

Force proportionnelle à l'intensité lumineuse ($\propto \omega_1^2$)

- A forte intensité ($s \gg 1$)

$$\vec{F}_1 \text{ sature à } -\hbar(\vec{\nabla} \phi) \frac{\Gamma}{2}$$

Valeur indépendante de l'intensité

Interprétation de \vec{F}_1 à basse intensité (pour une onde plane) (20)

- A résonance ($\delta = 0$) et pour $s \ll 1$

$$\vec{F}_1 = \frac{1}{\Gamma} \omega_1^2 \hbar \vec{k} = \frac{d^2 E_0^2}{\hbar^2 \Gamma} \hbar \vec{k}$$

- E_0^2 peut être relié au flux incident moyen d'énergie (voir II-22)

$$F_{inc} = \epsilon_0 c E_0^2 / 2$$

- Le taux Γ d'émission spontanée est calculable par la règle d'or de Fermi

$$\Gamma = \frac{1}{3\pi \hbar} \frac{d^2 \omega_0^3}{\epsilon_0 c^3}$$

- On en déduit

$$\vec{F}_1 = \underbrace{\frac{3 \lambda_0^2}{2\pi}}_{\text{Section efficace de diffusion résonnante}} \times \underbrace{\frac{F_{inc}}{\hbar \omega}}_{\text{Flux de photons incidents}} \times \underbrace{\hbar \vec{k}}_{\text{Impulsion de chaque photon}}$$

Section efficace de diffusion résonnante

Flux de photons incidents

Impulsion de chaque photon

Même structure que pour l'électron libre

Comparaison avec le résultat (21) obtenu pour un electron libre

- A basse intensité ($s \ll 1$), la réponse de l'atome est linéaire comme celle de l'électron

↳ Même structure pour \vec{F}_1

La section efficace Thomson $\sigma_T = 8\pi r_0^2/3$ est cependant remplacée par la section efficace de diffusion résonnante $\sigma_R = 3\lambda_0^2/2\pi$, beaucoup plus grande que σ_T ($\lambda_0/r_0 \approx 10^8$)

σ_R varie très vite avec ω (résonance très fine de largeur Γ) alors que σ_T est indépendante de ω

- A haute intensité ($s \gg 1$), la réponse de l'atome sature (alors que celle de e^- reste linéaire). On ne peut plus parler alors de section efficace.

Expression équivalente de \vec{F}_1 (22)

$$\vec{F}_1 = \underbrace{D_{quadr}}_{d\nu} \underbrace{\vec{E}_0}_{-\hbar\omega/d} \nabla\phi = \underbrace{\omega_1\nu}_{dN/dt} \underbrace{(-\hbar\nabla\phi)}_{\hbar\vec{k}}$$

Or, d'après la 3^{ème} équation de Bloch

$$\frac{dN}{dt} = \omega_1\nu = \sigma_{ee} + \Gamma\sigma_{ee}$$

Donc, en régime stationnaire

$$\boxed{\vec{F}_1 = \hbar\vec{k} \Gamma\sigma_{ee}}$$

A saturation, $\sigma_{ee} = \sigma_{ff} = 1/2$, et on retrouve bien

$$(\vec{F}_1)_{sat} = \hbar\vec{k} \frac{\Gamma}{2}$$

La force \vec{F}_1 s'annule si $\Gamma=0$, c.à.d s'il n'y a pas d'émission spontanée d'où le nom de "force spontanée" donné parfois à \vec{F}_1

Dénomination prêtant à confusion car les transferts d'impulsion à l'origine de \vec{F}_1 s'effectuent au cours de processus d'absorption.

Ordre de grandeur de $(\vec{F}_1)_{sat}$ (23)

$$(\vec{F}_1)_{sat} = \hbar k \frac{\Gamma}{2} = \frac{\hbar\Gamma}{2\lambda}$$

$$h = 6,6 \cdot 10^{-34} \text{ MKSA} \quad \lambda \approx 5 \cdot 10^{-7} \text{ m}$$

$$\Gamma = 10 \text{ MHz} = 10^7 \text{ Hz}$$

$$(\vec{F}_1)_{sat} = 6,6 \cdot 10^{-21} \text{ Newton}$$

Accélération pour un atome de numéro atomique $A = 100$

$$M = 10^2 \times 1,6 \cdot 10^{-27} = 1,6 \cdot 10^{-25} \text{ Kg}$$

$$a = \frac{F}{M} = \frac{6,6 \cdot 10^{-21}}{1,6 \cdot 10^{-25}} \approx 4 \cdot 10^4 \text{ m/s}^2$$

$$a = 4000 g$$

g : Accélération de la pesanteur

Force "pousse-atome"

Permet de pousser sélectivement un isotope si le laser est accordé sur la fréquence de cet isotope

Expression de \vec{F}_2 (24)

$$\vec{F}_2 = \underbrace{D_{phase}}_{du} (\nabla \vec{E}_0) = - \frac{\hbar(\omega - \omega_0)}{4} \frac{\nabla \omega_1^2}{(\omega - \omega_0)^2 + \frac{\Gamma^2}{4} + \frac{\omega_1^2}{2}}$$

- \vec{F}_2 varie avec $\delta = \omega - \omega_0$ comme une courbe de dispersion

\vec{F}_2 change de signe avec δ

- \vec{F}_2 est dirigée suivant le gradient d'intensité lumineuse I

$\omega > \omega_0$ Pousse hors des I élevées
 $\omega < \omega_0$ " vers les " "

- \vec{F}_2 dérive d'un potentiel $\vec{F}_2 = -\nabla U(\vec{r})$

$$U(\vec{r}) = \frac{\hbar\delta}{2} \text{Log} \left[1 + \frac{\omega_1^2(\vec{r})/2}{(\omega - \omega_0)^2 + (\Gamma/2)^2} \right] = \frac{\hbar\delta}{2} \text{Log} [1 + s(\vec{r})]$$

On peut encore écrire

$$\vec{F}_2 = -\hbar\delta \frac{s}{1+s} \vec{\alpha} \quad \vec{\alpha} = \nabla \text{Log} |\omega_1(\vec{r})|$$

$$\vec{F}_1 = \hbar \frac{\Gamma}{2} \frac{s}{1+s} \vec{\beta} \quad \vec{\beta} = \nabla \phi$$

Interprétation physique de \vec{F}_2 (25)

- Redistribution cohérente des photons des modes non vides, les modes vides restant vides (voir § B)
- \vec{F}_2 ne s'annule pas si $\Gamma \rightarrow 0$ (à la différence de \vec{F}_1). L'émission spontanée n'est donc pas essentielle pour \vec{F}_2 .
- Analogie entre $U(\vec{r})$ et l'énergie de polarisation d'un diélectrique
- Analogie entre \vec{F}_2 et les forces agissant sur un diélectrique placé dans un champ inhomogène
- Ici la fréquence du champ est voisine de ω_0 (au lieu d'être nulle)
- Interprétation de \vec{F}_2 en termes de gradients de niveaux de "l'atome habillé": sera donnée ultérieurement

Ordres de grandeur (26)

- F_2 varie avec δ comme une courbe de dispersion dont le maximum est pour $\delta \approx \omega_1$ (si $\omega_1 \gg \Gamma$)
- Donc $(F_2)_{opt} \approx \hbar \omega_1 \frac{|\vec{\nabla} I|}{I} \approx \hbar \omega_1 \frac{1}{L}$
- Dans une onde stationnaire, la longueur caractéristique de variation de I est λ Donc $1/L = 1/\lambda \approx k$
- $(F_2)_{opt} \approx \hbar k \omega_1 \gg (F_1)_{sat} = \hbar k \Gamma$ si $\omega_1 \gg \Gamma$ F_2 ne sature pas
- Profondeur du puits U
- Pour $\delta \approx \omega_1$, $U \approx \hbar \delta$
- Pour $\delta \approx 10$ GHz (laser continu)
- $U \approx 3 \cdot 10^{-6}$ eV ≈ 36 mK
- Nécessite d'un refroidissement préalable si l'on veut piéger des atomes neutres

Variation de vitesse Δv acquise pendant la durée de vie τ (27)

$\Delta v = \gamma \tau = \frac{F}{M} \tau \approx \frac{\hbar k \omega_1}{M} \tau$
 ($\hbar k \omega_1$: valeur maximale de F)

Si l'on veut pouvoir négliger cette variation de vitesse (condition ① de § D), il faut que l'effet Doppler associé à Δv , $k \Delta v$, soit petit devant la largeur de la résonance

$\Delta v = [2\omega_1^2 + \Gamma^2]^{1/2} \approx \omega_1$ si $\omega_1 \gg \Gamma$
 $k \Delta v \approx \hbar k^2 \omega_1 \tau \ll \omega_1$

$\hookrightarrow \frac{\hbar}{\tau} \gg \frac{\hbar^2 k^2}{M}$ $\hbar \Gamma \gg E_{recoil}$

On retrouve la même condition de validité que pour la condition ①

Si $\hbar \Gamma \gg E_{recoil}$, les variables internes peuvent évoluer et atteindre un régime stationnaire avant que l'état externe n'ait pu changer de manière appréciable

Récapitulation (28)

	F_1	F_2
Gradient qui intervient	Phase	Amplitude
Composante du dipôle	En quadrature avec le champ	En phase avec le champ
Variation avec $\omega - \omega_0$	Courbe d'absorption	Courbe de dispersion
Dérive d'un potentiel	non	oui
Limite $\Gamma \rightarrow 0$	$\vec{F}_1 = \vec{0}$	$\vec{F}_2 \neq \vec{0}$
Processus physiques	Absorption + Em. Spontanée Diffusion	Absorption + Em. induite Redistribution cohérente
Dénomination	Pression de radiation résonnante	Forces dipolaires